

Central Charges for BCFTs and Holography

基礎物理学研究所
素粒子論グループ

野崎 雅弘



高柳 匡氏と 宇賀神 知紀氏との共同研究
(arXiv:1205.1573, JHEP 1206 (2012) 066)に基づく。

2012/7/27 基研研究会「場の理論と弦理論」

- Holography原理に基づいて、物性理論や量子情報理論等への応用が盛んに行われている。
- 様々な系に対して、AdS/CFT対応が調べられてきている。

しかし、

- Holography原理自体はまだ良く理解されていない。



- 境界を持つCFT(BCFT)に対応する重力双対を考える。

その様な対応があるのか？、重力双対の構成法等

- この様な境界を持つCFTを考える意義

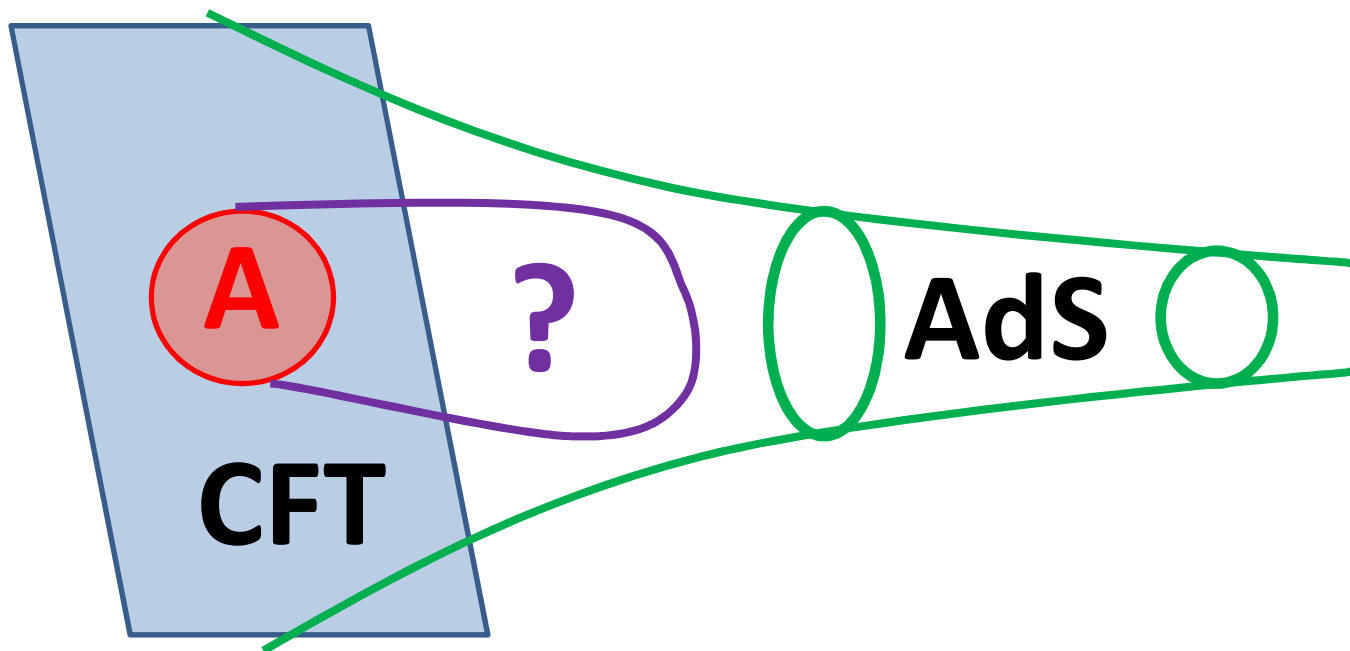
物性系への応用(Topological 絶縁体)

Holography 原理の深い理解

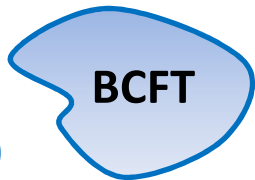
境界を持つBCFTとその重力双対との対応への理解



Holography原理の更なる理解につながるのでは?



• BCFTについて



境界を持つ多様体M上のCFT = BCFT (Boundary CFT)

偶数次元、特に二次元CFTでは、その分配関数 Z の対数関数には、

$$-\log Z = \frac{c}{6} \chi(M) \cdot \log \frac{L}{\epsilon}$$

という対数発散の項が現れる。



(L : 系の大きさ、 ϵ : 短距離のUVカットオフ)
(c : central charge、 $\chi(M)$: Euler数)

対数発散の係数 $\propto \chi(M)$

BCFTでは境界があるため、一般にこれを反映して $\chi(M)$ は変更されると期待される:

$$\chi(M) = \frac{1}{4\pi} \left(\int_M \sqrt{g} R + 2 \int_{\partial M} \sqrt{h} K \right)$$

境界の効果による項



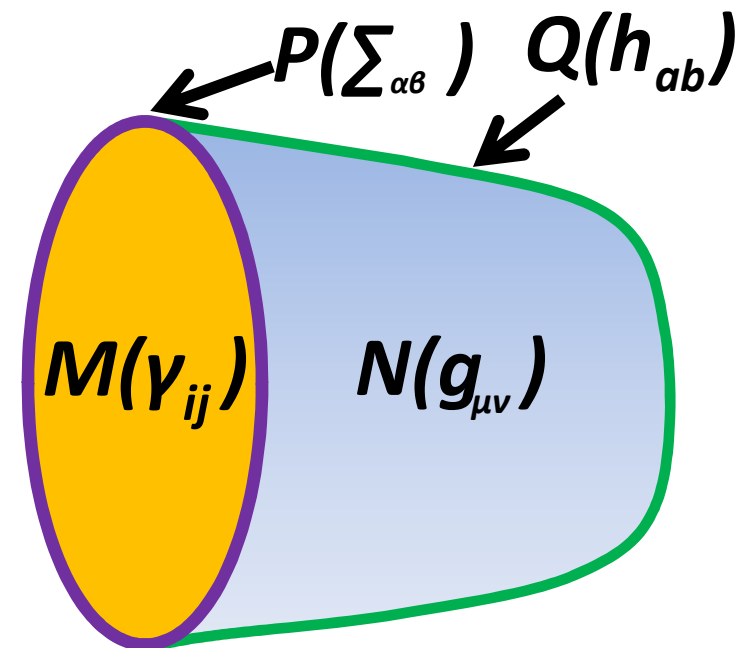
AdS/BCFT対応においても、この様に境界の効果による項が現れる事を確かめた。

- *AdS/BCFT* 対応について

境界 P を持つ多様体 M



境界 P を持つ多様体 M 上の CFT (BCFT)



- *AdS/BCFT* 対応について

境界Pを持つ多様体M

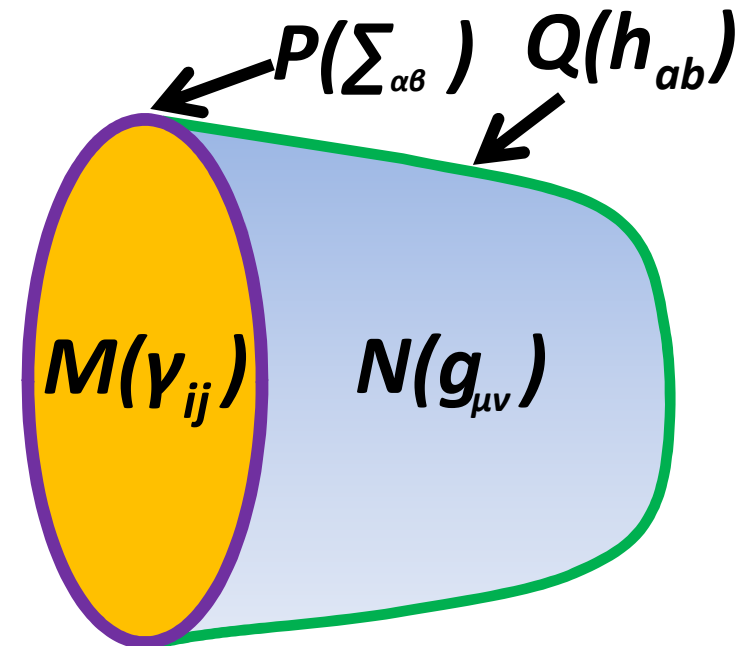


AdSの境界上で境界Pで制限された領域M

境界Pを持つ多様体M上のCFT(BCFT)



AdS時空上で境界Qにより制限された領域N上の重力理論



• *AdS/BCFT* 対応について

境界Pを持つ多様体M

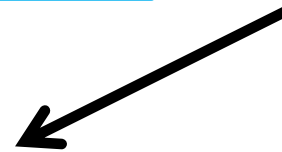


AdSの境界上で境界Pで制限された領域M

境界Pを持つ多様体M上のCFT(BCFT)

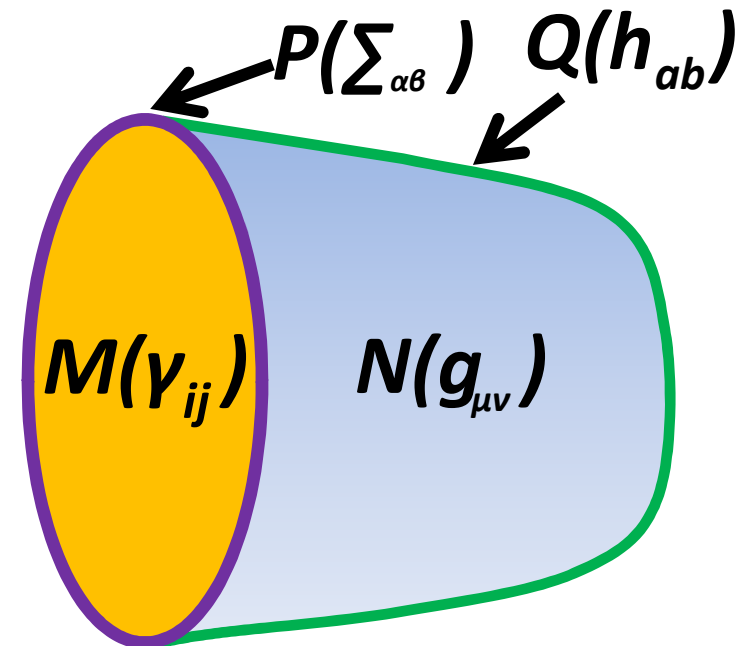


AdS時空上で境界Qにより制限された領域N上の重力理論



1. 境界Qで境界条件が必要
2. **INPUT** = CFTの情報(計量、Pの形状)

||
AdSの境界上の情報



• *AdS/BCFT* 対応について

境界Pを持つ多様体M



AdSの境界上で境界Pで制限された領域M

境界Pを持つ多様体M上のCFT(BCFT)



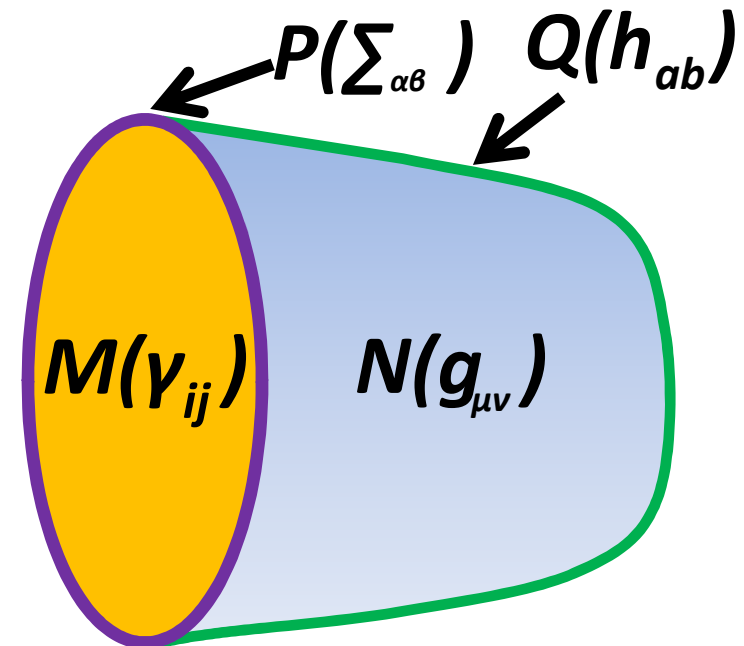
AdS時空上で境界Qにより制限された領域N上の重力理論

1. 境界Qで境界条件が必要
2. **INPUT** = CFTの情報(計量、Pの形状)

||
AdSの境界上の情報



境界Qで **Neumann境界条件** を課す。



• *AdS/BCFT* 対応について

境界Pを持つ多様体M

AdS/BCFT対応

AdSの境界上で境界Pで

境界Pを持つ多様体M上のCFT(BCFT)

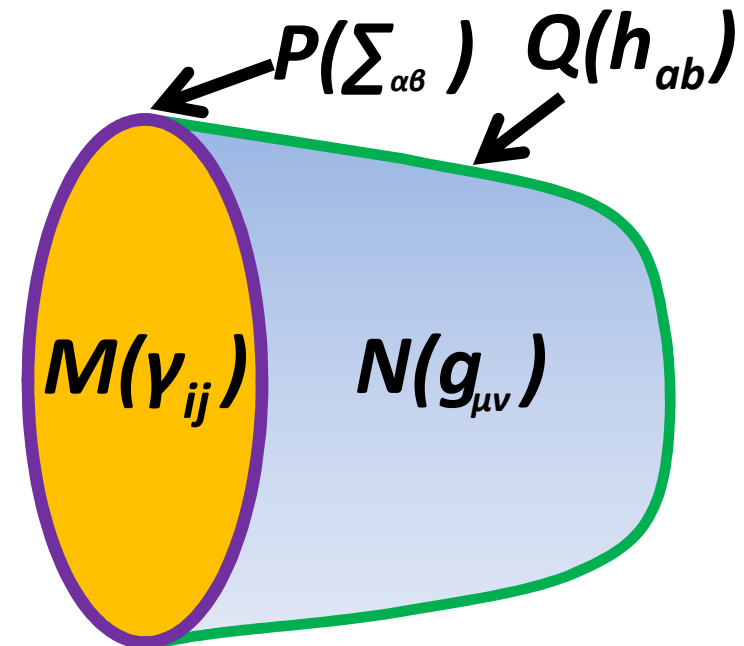
等価

境界Q上でNeumann境界条件が課され、境界Qによって制限されたAdS時空N上の重力理論

[Takayanagi 2011]

1. 境界Qで境界条件が必要
2. **INPUT** = CFTの情報(計量、Pの形状)

||
AdSの境界上の情報



境界Qで**Neumann境界条件**を課す。

Mに対するBoundary Term

•作用

$$I_E = -\frac{1}{16\pi G_N} \int_N \sqrt{g}(R - 2\Lambda) - \frac{1}{8\pi G_N} \int_Q \sqrt{h}(K + L_Q) - \frac{1}{8\pi G_N} \int_M \sqrt{\gamma} K$$

境界Qを持つAdS時空を考える為、この様な作用を考える

Qに対するBoundary Term
+
Q上のmatter term

•外曲率: $K_{ab} = \nabla_a n_b$ (n は境界Q上の法線ベクトル)
境界Q上にこの外曲率が定義できる。

Neumann境界条件

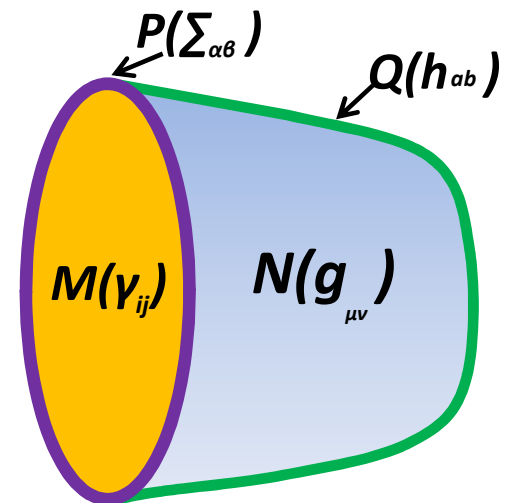
$$K_{ab} - h_{ab}K = 8\pi G_N T_{ab}^Q \quad (\text{Q上で})$$



境界Qの形状が決まる。

$$I_Q = -\frac{1}{8\pi G_N} \int_Q \sqrt{h} L_Q$$

$$T_{ab}^Q = -\frac{2}{\sqrt{-h}} \frac{\delta I_Q}{\delta h^{ab}}$$



•作用

$$I_E = -\frac{1}{16\pi G_N} \int_N \sqrt{g}(R - 2\Lambda) - \frac{1}{8\pi G_N} \int_Q \sqrt{h}(K + L_Q) - \frac{1}{8\pi G_N} \int_M \sqrt{\gamma} K$$

境界Qを持つAdS時空を考える為、この様な作用を考える。

•外曲率: $K_{ab} = \nabla_a n_b$ (n はQの法線ベクトルである。)

境界Q上にこの外曲率が定義できる。

Neumann境界条件

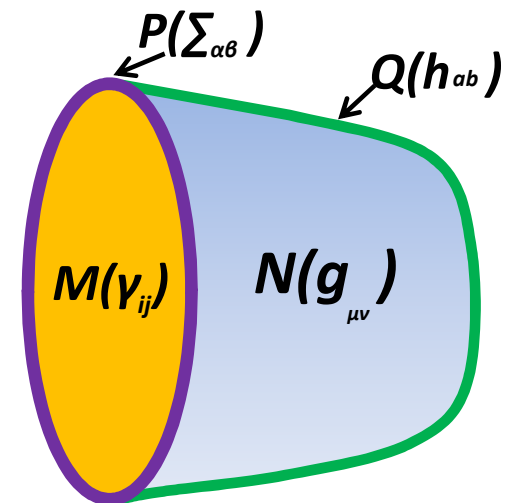
$$K_{ab} - h_{ab}K = 8\pi G_N T_{ab}^Q \quad (\text{Q上で})$$



境界Qの形状が決まる。

$$I_Q = -\frac{1}{8\pi G_N} \int_Q \sqrt{h} L_Q$$

$$T_{ab}^Q = -\frac{2}{\sqrt{-h}} \frac{\delta I_Q}{\delta h^{ab}}$$



- この対応の正当性はまだまだ確かめられていないところがある。

1.任意の境界を持つBCFTに対する解は存在するのか？

2.BCFTの結果と一致するのか？

- 私たちはこの**AdS/BCFT対応**の正当性をより確かなものにする二つの**結果**を得た。



- **任意の形状をした境界**を持つ二次元BCFTと、三次元BCFTに対応する解が存在することを摂動論を用いて確かめられた。

- 二次元BCFTに対応する三次元AdSの分配関数を評価すると対数発散する項の係数が**二次元BCFTの様に境界による効果を反映していることを確かめた。**

解析結果. 1

AdS₃で Fefferman-Graham 座標系 ($ds^2 = \frac{L^2}{4\rho^2}d\rho^2 + \frac{1}{\rho}g_{ij}(x, \rho)dx^i dx^j$)
において、 $\rho = 0$ (境界近傍)のまわりで ρ に関する摂動論を
用いて解析を行った。



少なくとも ρ の低次のオーダーでは任意の境界を持つBCFT₂
に対して対応する解が存在する事が確かめられた。



この重力双対の作用を評価すると対数発散の係数が
BCFT₂の持つ性質を再現する事が確かめられた。

Setup

作用:
$$I_E = -\frac{1}{16\pi G_N} \int_N \sqrt{g}(R - 2\Lambda) - \frac{1}{8\pi G_N} \int_Q \sqrt{h}(K - \underline{T}) - \frac{1}{8\pi G_N} \int_M \sqrt{\gamma}K$$

Neumann境界条件: $K_{ab} = (K - T)h_{ab}$

座標系: Fefferman-Graham 座標系 $ds^2 = \frac{L^2}{4\rho^2} d\rho^2 + \frac{1}{\rho} g_{ij}(x, \rho) dx^i dx^j$

境界Q: $x = x(y, \rho)$

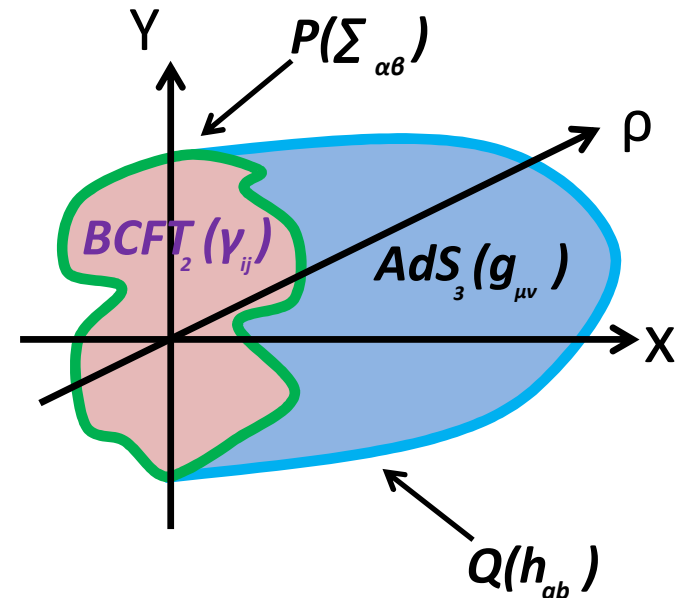
$\rho=0$ で $g_{ij}(x, y, \rho)$ と $x(y, \rho)$ に対して ρ に関する摂動展開

INPUT

BCFT₂の計量: $g_{ij}^{(0)}(x, y) = \delta_{ij}$
境界Pの形状: $x^{(0)}(y)$

任意の形状

ρ のfirst orderとsecond orderでは、Einstein方程式とNeumann境界条件を満たす解が無矛盾に存在する。



Setup

作用:
$$I_E = -\frac{1}{16\pi G_N} \int_N \sqrt{g}(R - 2\Lambda) - \frac{1}{8\pi G_N} \int_Q \sqrt{h}(K - \underline{T}) - \frac{1}{8\pi G_N} \int_M \sqrt{\gamma}K$$

Neumann境界条件: $K_{ab} = (K - T)h_{ab}$

座標系: Fefferman-Graham 座標系 $ds^2 = \frac{L^2}{4\rho^2} d\rho^2 + \frac{1}{\rho} g_{ij}(x, \rho) dx^i dx^j$

境界Q: $x = x(y, \rho)$

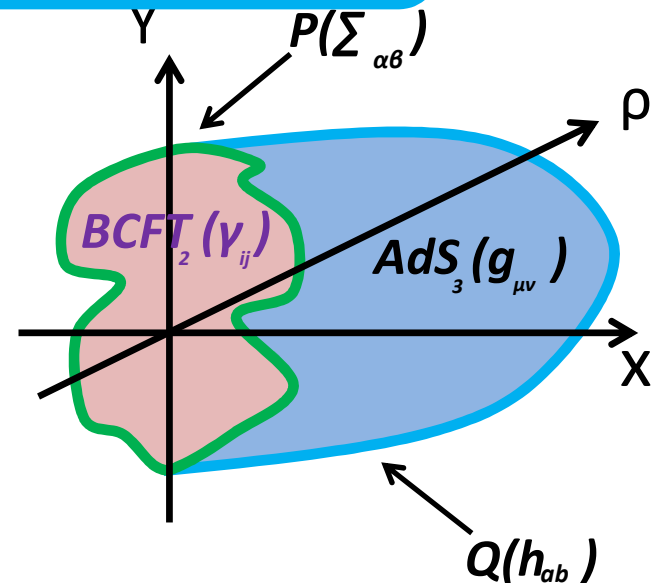
$\rho=0$ で g_{ij} BCFT₂ の境界 $x^{(0)}(y)$ に対して Einstein方程式、
Neumann境界条件を満たす解が存在する。

INPUT

BCFT₂ の計量: $g_{ij}^{(0)}(x, y) = \delta_{ij}$
境界Pの形状: $x^{(0)}(y)$

↓ 任意の形状

ρ の first order と second order では、
Einstein方程式と Neumann境界条件を
満たす解が無矛盾に存在する。



これらの解を用いて分配関数を評価する。

AdS/BFCT対応より、

$$-\log Z_{BCFT} = I_E \text{ である。} \left(I_E = -\frac{1}{4\pi L^2 G_N} \int_N \sqrt{g} + \frac{T}{8\pi G_N} \int_Q \sqrt{h} \right)$$

$$K = -\frac{\partial_y^2 x^{(0)}(y)}{(1 + (\partial_y x^{(0)}(y))^2)^{\frac{3}{2}}}, \quad c = \frac{3L}{2G_N} \quad \text{として}$$

$$-\log Z_{BCFT} = I_E$$

$$= \log \epsilon \cdot \frac{c}{12\pi} \int_{\partial M} \sqrt{h} K$$

境界Pによるオイラー数 $\chi^{(M)}$ への寄与

これらの解を用いて分配関数を評価する。

AdS/BFCT対応より、

$$-\log Z_{BCFT} = I_E \text{ である。} \left(I_E = -\frac{1}{4\pi L^2 G_N} \int_N \sqrt{g} + \frac{T}{8\pi G_N} \int_Q \sqrt{h} \right)$$

BCFT₂に対応する重力解の作用を評価した結果、
境界Pによるオイラー数 $\chi^{(M)}$ への寄与が再現される事が確かめられた。

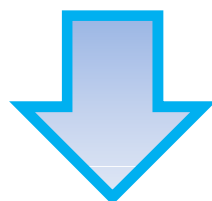
$$-\log Z_{BCFT} = I_E$$

$$= \log \epsilon \cdot \frac{c}{12\pi} \int_{\partial M} \sqrt{h} K$$

境界Pによるオイラー数 $\chi^{(M)}$ への寄与

解析結果. 2

AdS₄ では Gaussian 標準座標系 $ds^2 = d\eta^2 + \frac{\cosh^2 \eta}{z^2} (dz^2 + dx^2 + dy^2)$ において、摂動論を用いて解析を行った。



少なくとも低いオーダーでは任意の境界を持つ BCFT₃ に対して対応する重力双対が存在する事が確かめられた。

Setup

Gaussian 標準座標系: $ds^2 = d\eta^2 + \frac{\cosh^2 \eta}{z^2} (dz^2 + dx^2 + dy^2)$

境界Q: $\eta = \eta_*$ に存在。

AdS₃

境界Q上の外曲率: $K_{ab} = \frac{1}{2} \frac{\partial h_{ab}(\eta_*, u)}{\partial \eta}$

・境界Qによって

$$ds^2 = d\eta^2 + \frac{\cosh^2 \eta}{z^2} (dz^2 + dx^2 + dy^2) \rightarrow ds^2 = d\eta^2 + h_{ab}(\eta, u) du^a du^b$$

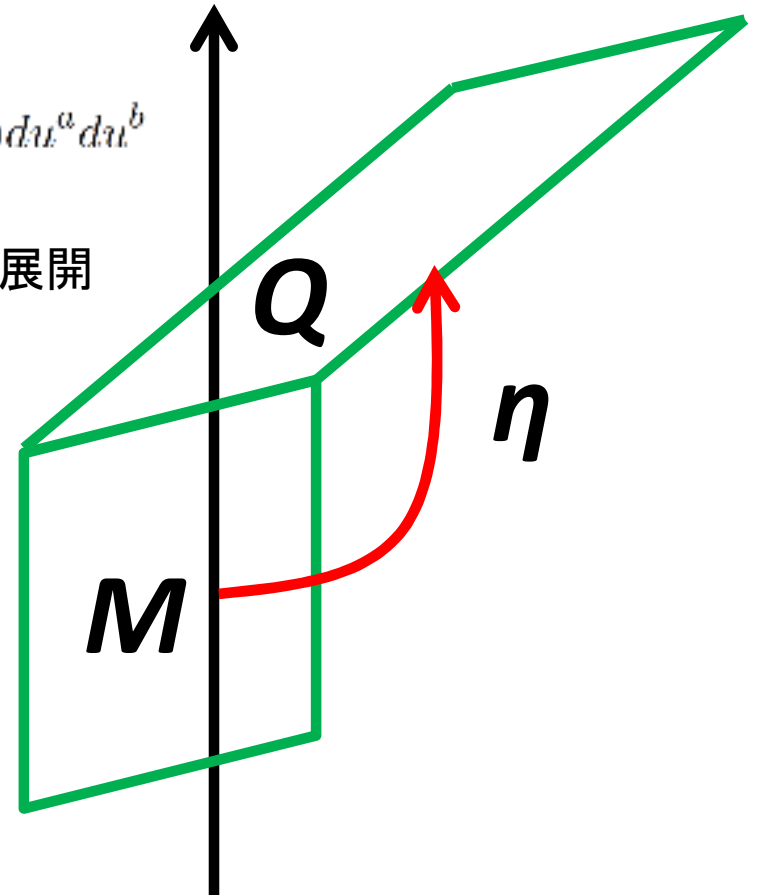
・境界Qによる計量への寄与が小さいとして $z=0$ で摂動展開

$$h_{ab}(\eta, x, y, z) = \frac{\cosh^2 \eta}{z^2} \delta_{ab} + \delta h_{ab}(\eta, x, y, z)$$

$$\delta h_{ab}(\eta, x, y, z) = \delta h_{ab}(\eta, z, k) \cdot e^{ikx} \text{ を行った。}$$



・ z に関してfirst order, second orderでは Einstein方程式、Neumann境界条件を満たす 無矛盾な解が存在する



Setup

Gaussian 標準座標系: $ds^2 = d\eta^2 + \frac{\cosh^2 \eta}{z^2} (dz^2 + dx^2 + dy^2)$

境界Q: $\eta = \eta_*$ に存在。

境界Q上の外曲率: $K_{ab} = \frac{1}{2} \frac{\partial h_{ab}(\eta_*, u)}{\partial \eta}$

AdS₃

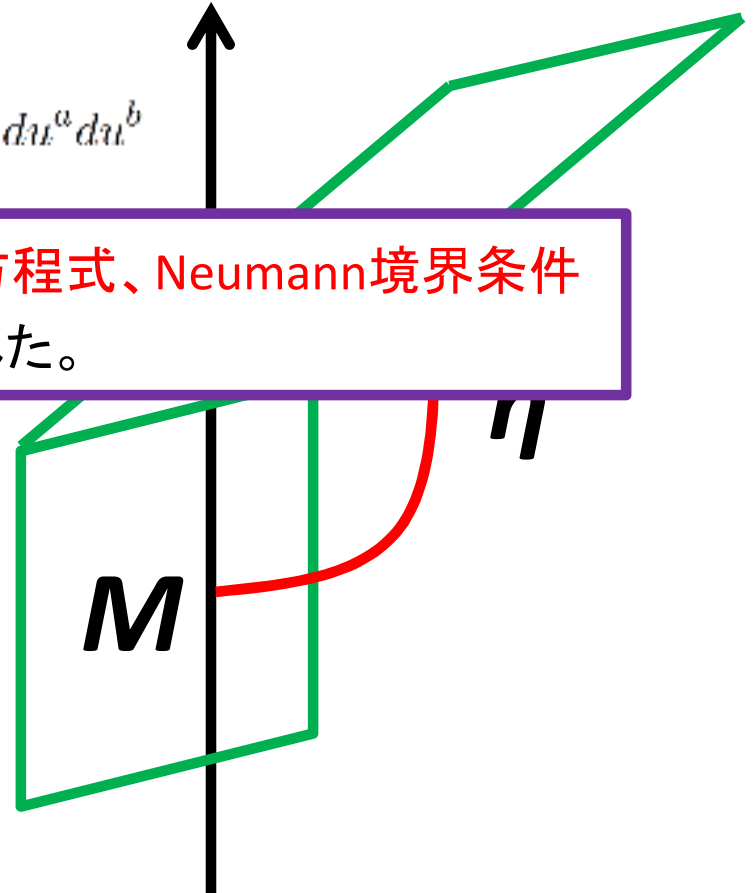
・境界Qによって

$$ds^2 = d\eta^2 + \frac{\cosh^2 \eta}{z^2} (dz^2 + dx^2 + dy^2) \rightarrow ds^2 = d\eta^2 + h_{ab}(\eta, u) du^a du^b$$

任意の境界を持つ平坦なBCFT₃に対してEinstein方程式、Neumann境界条件を満たす解が存在することが摂動的に確かめられた。

$\delta h_{ab}(\eta, x, y, z) = \delta h_{ab}(\eta, z, k) \cdot e^{ikx}$ を行った。

・zに関してfirst order, second orderではEinstein方程式、Neumann境界条件を満たす無矛盾な解が存在する



•他の結果

•三次元球 B_3 上のBCFT \longrightarrow 境界:二次元球面 S^2 (B_3 の半径: r_B)

•分配関数: $\log Z \sim \frac{c_{bdy}}{3} \log \frac{r_B}{\epsilon}$ (ϵ : 短距離のUVカットオフ)

境界からの効果

• **Boundary Central Charge:** $c_{bdy} \longrightarrow c_{bdy}(r_B) = 3r_B \frac{d \log Z}{dr_B}$

Holographicな予言

$$\frac{dc_{bdy}(r_B)}{dr_B} \leq 0$$

RG flowで単調減少

[Takayanagi- Fujita-Tonni 2011]

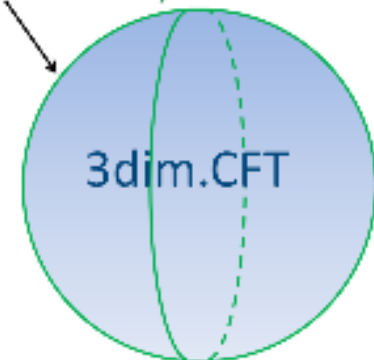


場の理論の解析から摂動論を用いて成立することを確認した。

具体例: 自由スカラー場

$$c_{bdy}(UV) = \frac{7}{16}, c_{bdy}(IR) = -\frac{1}{16}, c_{bdy}(UV) > c_{bdy}(IR)$$

2dim. Boundary



•他の結果

•三次元球 B_3 上のBCFT \longrightarrow 境界:二次元球面 S^2 (B_3 の半径: r_B)

•分配関数: $\log Z \sim \frac{c_{bdy}}{3} \log \frac{r_B}{\epsilon}$ (ϵ : 短距離のUVカットオフ)

境界からの効果

• **Boundary Central Charge:** $c_{bdy} \longrightarrow c_{bdy}(r_B) = 3r_B \frac{d \log Z}{dr_B}$

摂動論を用いて、RG flowで $c_{bdy}(r_B)$ が単調減少する事を証明した。

dr_B

RG flowで単調減少

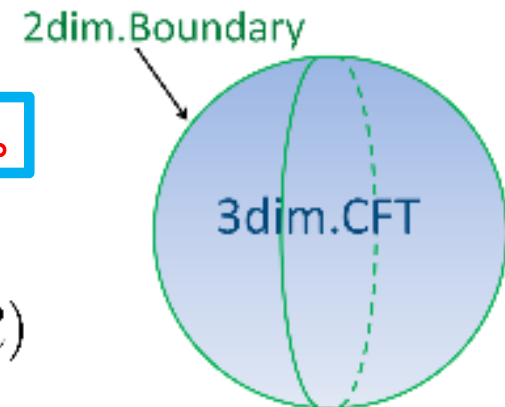
[Takayanagi- Fujita-Tonni 2011]



場の理論の解析から摂動論を用いて成立することを確認した。

具体例: 自由スカラー場

$$c_{bdy}(UV) = \frac{7}{16}, c_{bdy}(IR) = -\frac{1}{16}, c_{bdy}(UV) > c_{bdy}(IR)$$



まとめと展望

- 私たちはこの**AdS/BCFT対応**の正当性を立証する二つの結果を得た。
 1. BCFT₂, BCFT₃ に対応する重力双対が存在することを摂動論を用いて示した。
 2. 重力理論の解析からBCFT₂の対数発散の係数の性質を再現することを確認した。
- 場の理論の解析から、摂動的に高次元の g-theorem が成り立つ事を示した。



1. 摂動論を使わず、BCFTに対する重力双対が無矛盾に存在するか確かめる。
2. AdS/BCFT対応に基づいて有限温度系のBCFTに対して重力双対が構成できるか調べてみる。
3. AdS/BCFT対応に基づいて時間発展するBCFTの解析を行ってみる。